

並列円柱の空力挙動について

徳島大学工学部 正員 宇都官英彦
徳島大学大学院 学生員○藤倉 兼康
復建調査設計 正員 福原 康弘

1. まえがき

並列円柱の空気力学的挙動に関する、既にいくつかの詳細な実験的研究が行われており、上流円柱による、Wake内での空気力学的現象をWake Flutterとして把え、実験、解析を試みた例など、多く報告されている。また実際、斜張橋ケーブル用いた風洞実験を行われている。⁽⁴⁾⁽⁵⁾著者等も、前報⁽⁶⁾の実験的研究において、準定常理論適用では応答を求められないような現象を認め大事を報告した。本研究では、この種の問題に対して、Wake内で強制加振された円柱に作用する変動空気力を求め、その位相関係から、不安定振動を予測することの可能性について報告するものである。

2. 実験概要

今回の実験においては、斜張橋の複数ケーブルを見らせる中心間隔($\sim 5d$;直角)を例にとり、 $5d$ を中心とする、 $3d$, $5d$, $10d$ の3種類の中心間隔を採用した。円柱は、 $d=6\text{cm}$, 長さ $l=60\text{cm}$ のアルミニウムパイプを使用し、風洞実験においては、鉛直支持方式として行った。

3. 上流円柱による後流速度変動

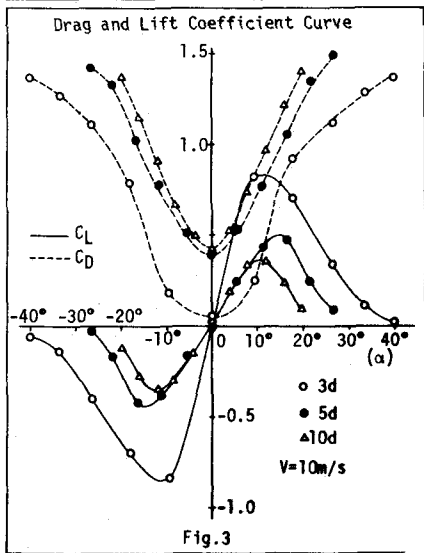
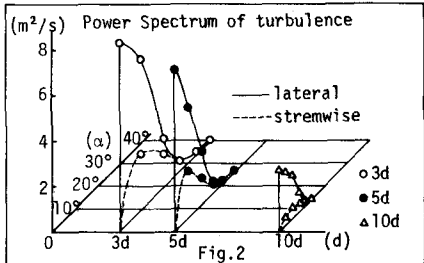
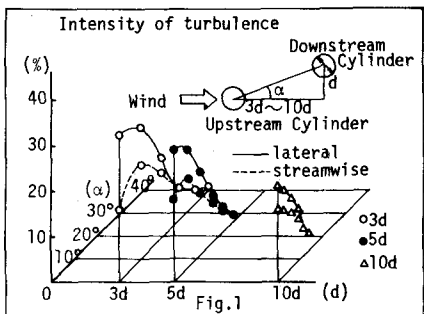
Fig.1, Fig.2 は、上流円柱による後流中の下流円柱の位置における乱れ強さ、およびペラースベクトルを中心間隔と迎角に対して、三次元座標で表したものである。これらより一般的に、円柱中心間隔が小さい程、また又が小さい程、乱れの強さもペラードも大きく、Turbulence効果が大きい。主流方向の $3d$, $5d$ 附近の迎角 0° にてほどで値が減少しているのは、これらの距離で測定付近が no-flow の状態となっているためと思われる。Wake内の流れから得られる情報は、Karmen渦に対応するものと、平均流の傾斜程度であることがわかる。

4. 静的三分力特性

Wake中の静止状態の下流円柱に作用する三分力は、Fig.3 に示すようにおり、これらは係数 C_L 前報⁽⁶⁾の結果と同様の傾向を示している。上流円柱背後($\alpha=0^\circ$ 迎角)における抗力係数の低下、特に $3d$ 附近にての傾向が著しく、上記の no-flow の状態に対応している。単独円柱 K においては、揚力は微かであるといふから、Wakeの効果が明らかである。

5. 応答実験

前報⁽⁶⁾の応答実験により、一般的の傾向として中心間隔の距離が長くなる程、応答振幅が減少し、迎角がある時は応答が生じない事から、今回の応答実験は、 $5d$ 、迎角 $\alpha=0^\circ$ の条件で、前報のより質量減衰パラメータが小さいため、低風速から応答が発生した。Fig.4 K.結果を示すが、換算風速 1.2 以下で、Karmen渦による揚動振幅と別に、風速の上昇とともに発散する不安定振動が発生している。



6. 阻制地振実験および考察

振動円柱に作用する変動空気力のうち、平均流直交方向成分を検出するため、Fig.5に示すような加振装置を用いた。加振入力はアトロフ計算器による正弦波であり、測定式、加振振幅、加振振動数を変化させて、それそれに応じて、風速を上昇させた。

Fig.6は、加振振動数2.0Hzにおける変動空気力のうち、加振成分のみを取り出し計算した変動空気力振幅を示すものである。フィルタード結果を見ると、風速の増加に対して空気力は2乗のオーダーで増加してゆくのがわかる。フィルタードしない場合に比べては高風速において調和成分が卓越してくるために、数値がずらつき、変動空気力を適格に表現していないと思われる。充満結果と対比すればわかるように、低風速領域において、加振成分に対する空気力が極めて小さいにもかかわらず、調和振とは異なる振動が発生することは注目に値する。

Fig.7は、位相変化を加振変位を基準にして表示したものである。一般的傾向として、振動が発生する風速附近で、位相角、進み側(-)から進み側(+)に変化し、風速の上昇とともに位相角進み、一定レベルに達するものと思われる。

前述したように、迎角0°附近の振動に対して、準定常理論では説明できぬため、強制地振実験による変動空気力の作用に基づいて不定定振動を予測する事を試みる。今、変位を、
 $y = y_0 \cos \omega t$ 、 ω をもと、振動円柱に作用する変動空気力の振動数成分位相相差 ϕ を含めて、 $F = F_0 \cos(\omega t + \phi)$ となる。 $\{F_0\}$:変動空気力振幅

減衰力の付与仕事、 W_C は、減衰係数を C 、減衰定数を ζ 、質量を m 、 ω とする。

$$W_C = \int_0^{\frac{T}{2}} C y^2 dt = \int_0^{\frac{T}{2}} C y_0^2 \omega^2 \cos^2 \omega t dt = 2 m \omega^2 h \pi y_0^2$$

以下に付して変動空気力の応答振動数成分に対する仕事、 W_F は、

$$W_F = \int_0^{\frac{T}{2}} F y dt = - \int_0^{\frac{T}{2}} F_0 \omega \sin \omega t \cos(\omega t + \phi) dt = \pi F_0 y_0 \omega \sin \phi$$

以上2つの仕事が等しいとおくことにより応答振幅 y_0 は次式となる。

$$y_0 = F_0 \sin \phi / 2 m \omega^2 h$$

数値計算を試みると、換算風速3倍附近で実験の応答振幅が約5cmであるのに対し、約2.5~3cm程度となり、オーダー的に近く、強制地振実験による応答推定方法の妥当性を示しているものと思われる。

7. おまけ

今回の実験では、低風速で応答が生じているため、それに付する地振実験による変動空気力の情報としては、数値も小さく、精度的にも問題があるため、今後、高風速領域での比較的大きい変動空気力を対称とするよう、減衰比を大きくするなど改良を施し、測定点をふやして精度を上げ実験、解析を行、長上で、講演当日に補足したいと考える。

- *文献*
- (1) Simpson, A; On the Flutter of a Smooth Circular Cylinder in a Wake; Aeronautical Quarterly, Feb, 1971.
- (2) Simpson, A; Wake-Induced Flutter of Circular Cylinders: Mechanical Aspects; Aeronautical Quarterly, May, 1971.
- (3) Tso, Y.T.; On Wake-Induced Flutter of a Circular Cylinder in the Wake of Another; Trans. ASME, Vol. 1, 1977
- (4) 有藤道也; 斜張橋ケーブルの耐震的性能について; 土木学会第32回年次学術講演会概要集, 1977
- (5) 有藤道也; 斜張橋ケーブルの耐震的性能について; 土木学会第33回年次学術講演会概要集, 1978
- (6) 有藤道也; 並列円柱構造物の空気力学的挙動; 第3回空気力学討論会; 土木学会中国四国支部毎年学術講演会概要集, 1978
- (7) 有藤道也; 並列円柱構造物の空気力学的挙動; 國際基礎工学シンポジウム論文集, 1978

